

用单光束扫描法测量球状电介质悬浮液的非线性折射率*

贾振红 李 劲 陈益新 陈英礼 周 骏

(上海交通大学应用物理系, 上海 200030)

提要 利用单光束扫描法研究了球状电介质悬浮液的非线性光学性质, 对直径为 $0.059 \mu\text{m}$, 浓度为 2.5% 的聚苯乙烯悬浮液的非线性光学系数 n_2 进行了测量, 给出 n_2 值为 $4.3 \times 10^{-9} \text{ cm}^2/\text{W}$ 。从实验中得出这种悬浮液中 n_2 引起的折射率变化远大于热效应引起的折射率变化。

关键词 电介质悬浮液, 单光束扫描法, 非线性折射率

1 引 言

亚微米电介质颗粒悬浮液是一种人工克尔介质, 具有极大的非线性折射率^[1]。人们已用这种介质实现了四波混频及自聚焦等实验^[2,3], 对其非线性光学性质进行了研究。这种介质产生光学非线性的机理是电介质小球在光场 E 中可成为具有极化强度 P 的电偶极子^[1]

$$P = n_b^2 \left(\frac{n^2 - 1}{n^2 + 2} \right) r^3 E \quad (1)$$

其中 n_b 是液体折射率, $n = n_a/n_b$, n_a 是介质小球折射率, r 是球半径。在激光的光场中, 小球受电场力作用。 $n > 1$ ($n < 1$), 小球沿光强增加(减小)的方向一移动, 形成沿轴对称的密度分布, 因而产生折射率变化分布, 形成正的非线性折射率 n_2 。这种悬浮液响应时间较慢 (ms), 但因具有极大的非线性折射率, 故在某些情况下可作为一种非线性光学材料^[1~4]。

本文用单光束扫描法^[5]同时测量了一种球状电介质悬浮液的非线性光学系数 n_2 及热效应产生的折射率变化, 并与理论值进行了比较, 结果基本一致。

2 测量原理

设入射光为基模高斯光束

$$E(z, r) = E_0 \frac{\omega_0}{\omega(z)} \exp \left\{ \frac{-r^2}{\omega^2(z)} - \frac{i k r^2}{2 R(z)} \right\} \exp[-i \phi(z)] \quad (2)$$

设样品厚度 l 很小, 不考虑光束强度分布包络在样品中发生畸变, 在慢变化近似下有

$$\frac{dI}{dz'} = -\alpha I \quad (3)$$

* 上海市科技发展基金资助项目。

收稿日期: 1994年11月22日; 收到修改稿日期: 1995年5月15日

$$\frac{d(\Delta\phi)}{dz'} = \Delta n(I)k \quad (4)$$

z' 是样品内纵向坐标, α 为样品的散射损耗系数 α_0 与线性吸收系数 α_1 之和, 对于我们使用的样品, $\alpha_0 \gg \alpha_1$, 故 $\alpha \approx \alpha_0$. $\Delta n(I) = \Delta n_e + \Delta n_t$, $\Delta n_e = n_2 I$ 是在光场作用下, 由于悬浮颗粒度分布改变而形成的折射率变化。 Δn_t 是热效应引起的折射率变化, 由文献[6]知, $\Delta n_t = [(\partial n/\partial t) \cdot I\omega^2(z)\alpha]/4\kappa$, κ 为热导率。由(3), (4)式, 得到

$$\Delta\phi = \Delta\phi_0 \exp[-2r^2/\omega^2(z)] \quad (5)$$

$$\Delta\phi_0 = \frac{\Delta\Phi_{\alpha e}}{1 + z^2/z_0^2} + \Delta\Phi_{\alpha t} \quad (6)$$

其中, $\Delta\Phi_{\alpha e} = \kappa \Delta n_e l_{eff}$, $\Delta\Phi_{\alpha t} = \kappa \Delta n_t l_{eff}$, $l_{eff} = (1 - e^{-\alpha_0 z})/\alpha_0$, z_0 为共焦参数。样品出射面场分布为

$$E_s(z, r) = E(z, r) \exp(-\alpha_0 l/2) \exp(-i\Delta\phi) \quad (7)$$

利用高斯分解法^[5], 我们可以推导出接收屏处小孔径的归一化透射率

$$T(z, \Delta\Phi_{\alpha e}, \Delta\Phi_{\alpha t}) \approx 1 + \frac{4\Delta\Phi_{\alpha e}x}{(x^2 + 9)(x^2 + 1)} + \frac{4\Delta\Phi_{\alpha t}x}{x^2 + 9} \quad (8)$$

式中 $x = z/z_0$, 设 $x = x_r, x_s$ 时, T 取极大值 T_r , 或极小值 T_s , 则有 $x_r = -x_s$, 令 $\Delta x_{r-s} = |x_r - x_s|$, 则 $|x_s| = |\Delta x_{r-s}|/2$ 。由(8)式得

$$\frac{\Delta\Phi_{\alpha e}}{\Delta\Phi_{\alpha t}} = \frac{\Delta n_e}{\Delta n_t} = \frac{(x_r^2 + 1)(9 - x_r^2)}{3x_r^4 + 10x_r^2 - 9} \quad (9)$$

由上式可以看出, 若 $\Delta n_e \gg \Delta n_t$, 则 $|\Delta x_{r-s}| \approx 1.7$, 若 $\Delta n_t \gg \Delta n_e$, 则 $|\Delta x_{r-s}| = 6$ 。

设接受屏小孔半径为 r_s , 由文献[5], 可得到如下结果

$$\Delta T_{r-s} \approx 8(1 - s)^{0.25} \left[\frac{\Delta\Phi_{\alpha e}x_r}{(x_r^2 + 9)(x_r^2 + 1)} + \frac{\Delta\Phi_{\alpha t}x_s}{x_s^2 + 9} \right] \quad (10)$$

其中 $\Delta T_{r-s} = T_r - T_s$, $s = 1 - \exp(-2r_s^2/w_s^2)$, w_s 是在线性情况下光束在屏处的半径。

从实验上测出 Δx_{r-s} , ΔT_{r-s} , 就可以从(9)和(10)式得出 Δn_e , Δn_t 。

3 实验结果及讨论

我们所用样品为 Dow 化学公司生产的聚苯乙烯悬浮液, 颗粒直径为 $0.059 \mu\text{m}$, 浓度为 2.5%, 测得其散射损耗系数 α_0 为 25.5 cm^{-1} 。光源采用连续 Ar^+ 激光, 波长为 514.5 nm , 输出功率为 480 mW 。经透镜聚焦后, 束腰为 $12 \mu\text{m}$ 。厚为 0.26 mm 的样品池装有悬浮液样品。开有小孔的屏置于探测器前, 样品在透镜焦点附近扫描过程中记录下样品在不同位置 z 处的透射率, 得到如图 1 所示的 $T-z$ 变化曲线。考虑到悬浮物颗粒布朗运动造成的散斑移动对探测器读数的影响, 取 $S = 0.2$ 。根据 $T-z$ 实验曲线, 可以看出, $\Delta n_e \gg \Delta n_t$ 。因而可忽略热效应引起的折射率变化。这样可求出样品的非线性折射率 $n_2 \approx 4.3 \times 10^{-9} \text{ cm}^2/\text{W}$ 。由文献[1]知, 球状悬浮液非线性折射率 n_2 由下式决定

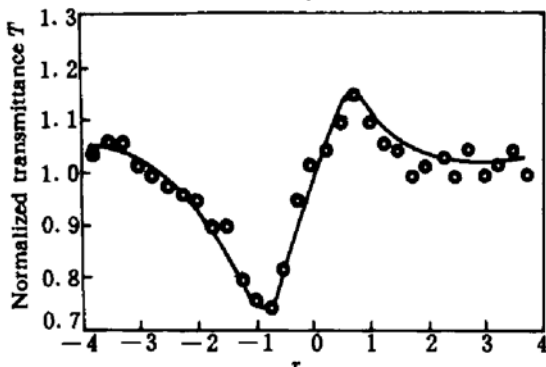


Fig. 1 Normalized transmittance versus position z of a sample

$$\frac{n_2}{\alpha_0} = \frac{\lambda^4}{16\pi^3 ckTn_b^2} \frac{n^2 + 2}{n + 1} \quad (11)$$

其中 c 为真空中的光速, k 为玻尔兹曼常数, T 为悬浮液温度, α_0 为散射损耗系数。我们所使用的样品中, $n_a = 1.59$, $n_b = 1.33$ 。在室温下, 可得出 $n_2 = 2.4 \times 10^{-9} \text{ cm}^2/\text{W}$ 。实验值与理论值基本相符。 n_2 值为正, 这也同我们实验观测到的一致。另外, 由热效应引起的折射率变化可忽略不计。虽然 $dn/dT \sim 10^{-4} \text{ }^\circ\text{C}^{-1}$ ^[7], 但由于聚苯乙烯悬浮液对使用的激光吸收极小, 故有上述结果。

参 考 文 献

- 1 P. W. Smith, P. J. Maloney, A. Askin. Use of a liquid suspension of dielectric spheres as an artificial Kerr medium. *Opt. Lett.*, 1982, (8) : 347~349
- 2 P. W. Smith, A. Askin, W. J. Tomlinson. Four-wave mixing in an artificial Kerr medium. *Opt. Lett.*, 1981, (6) : 284~286
- 3 A. Askin, J. M. Dziedzic, P. W. Smith. Continuous-wave self-focusing and self-trapping of light in artificial Kerr media. *Opt. Lett.*, 1982, (6) : 276~278
- 4 C. M. Lawson, G. W. Euliss, R. R. Michael. Nanosecond laser-induced cavitation in carbon microparticle suspensions: Application in nonlinear interface switching. *Appl. Phys. Lett.*, 1991, 58 : 2195~2197
- 5 M. Sheik-Bahae, A. A. Said, T. H. Wei et al.. Sensitive measurement of optical nonlinearities using a single beam. *IEEE. J. Quant. Electr.*, 1990, QE-26 : 760~769
- 6 J. G. Tian, C. Zhang, G. Zhang. The origin of optical nonlinearities of Chinese tea. *Optik*, 1992, 90 : 1~4
- 7 S. De Nicola, P. Mormile, G. Pierattini. The Temperature dependence of the refractive index of an aqueous suspension of polystyrene microspheres. *Appl. Phys.*, 1991, B53 : 350~352

Nonlinear Refractive Index Measurement of Liquid Suspension of Dielectric Spheres with a Single Beam Technique

Jia Zhenhong Li Qu Chen Yixin Chen Yingli Zhou Jun

(Department of Applied Physics, Shanghai Jiao Tong University, Shanghai 200030)

Abstract Optical nonlinearity of the liquid suspension of dielectric spheres has been studied with a single beam technique. Nonlinear refractive index n_2 of polystyrene latex suspension with $0.059 \mu\text{m}$ -diameter and concentration of 2.5% has been measured to be $4.3 \times 10^{-9} \text{ cm}^2/\text{W}$. The contribution of thermal effect has been proved experimentally to be negligible as compared with that of electrostrictive effect.

Key words liquid suspension of dielectric particles, single beam technique, nonlinear refractive